

**ЭНЕРГИИ СОБСТВЕННЫХ ДЕФЕКТОВ  
В НАТРИЙ-ГАДОЛИНИЕВОМ МОЛИБДАТЕ  $\text{NaGd}(\text{MoO}_4)_2$**

**В.Б. Дудникова, Н.Н. Еремин**

*Московский государственный университет им. М.В. Ломоносова, Москва, Россия*  
E-mail: VDudnikova@hotmail.com

*Статья поступила*  
29.05.2023

*С доработки*  
15.07.2023

*Принята к публикации*  
21.07.2023

Методом атомистического моделирования оценены энергии собственных дефектов в кристаллах натрий-гадолиниевого молибдата. Установлено, что натриевые дефекты Френкеля имеют наиболее низкие энергии образования и являются наиболее вероятным видом собственных дефектов в натрий-гадолиниевых молибдатах. Формирование дефектов Шоттки и, особенно, молибденовых дефектов Френкеля, в состав которых входят вакансии молибдена, требует значительно больших энергий, что снижает вероятность их появления. В целом энергии дефектообразования в кристалле  $\text{NaGd}(\text{MoO}_4)_2$ , для которого характерно разупорядоченное распределение разновалентных ионов натрия и гадолиния, ниже, чем в его структурном аналоге  $\text{CaMoO}_4$ .

DOI: 10.26902/JSC\_id117248  
EDN: JPGGRC

**Ключевые слова:** натрий-гадолиниевый молибдат, собственные дефекты, атомистическое моделирование.

**ВВЕДЕНИЕ**

Натрий-гадолиниевый молибдат  $\text{NaGd}(\text{MoO}_4)_2$  (NGM) – представитель обширного семейства двойных молибдатов и вольфраматов с общей формулой  $M\text{Re}(\text{TO}_4)_2$ , (где  $M = \text{Li}, \text{Na}, \text{K}; \text{Re} = \text{Y}, \text{La}, \text{Gd}, \text{Lu} \dots; T = \text{Mo}, \text{W}$ ).

NGM кристаллизуется в структуре шеелита  $\text{CaWO}_4$ , тетрагональная сингония, пространственная группа  $I4_1/a$ , натрий и гадолиний статистически распределены по «кальциевым» позициям [1–4], которые обычно называются А-позициями. Ионы натрия и гадолиния координированы восемью ионами кислорода, ионы молибдена – четырьмя. Замещение катионов  $\text{Ca}^{2+}$  в  $\text{CaMoO}_4$  на ионы  $\text{Na}^+$  и  $\text{Gd}^{3+}$  позволяет получать соединения с шеелитоподобной структурой во всем диапазоне составов [5].

Синтезу и исследованию монокристаллов, порошков и нанокристаллических образцов NGM посвящено большое количество экспериментальных работ. Кристаллы NGM представляют интерес в качестве лазерных матриц, легированных, например,  $\text{Sm}^{3+}$  [6],  $\text{Tm}^{3+}$  [7],  $\text{Nd}^{3+}$  [8] и  $\text{Ho}^{3+}$  [9], люминофоров, легированных, например,  $\text{Eu}^{3+}$  [10],  $\text{Tb}^{3+}$  [11]. Различные твердые растворы на основе натрий-гадолиниевого молибдата применяются при создании люминофоров для светодиодов белого цвета [12, 13], оптических температурных сенсоров [14, 15]. Для оценки физических, механических, термодинамических свойств и локальной структуры кристаллов NGM [16, 17], а также их твердых растворов с  $\text{CaMoO}_4$  [18] и  $\text{Eu}_2(\text{MoO}_4)_3$  [19, 20] использовалось атомистическое моделирование на основе эмпирических потенциалов. Опреде-

лены параметры и объем элементарной ячейки, плотность, модуль объемной упругости, энталпия, колебательная энтропия и теплоемкость. Построены графики температурной зависимости теплоемкости и колебательной энтропии. Для твердых растворов исследована зависимость этих свойств от состава. Анализ локального окружения ионов показал, что расстояния Gd—O в среднем на 2.6 % меньше, чем Ca—O. В то же время расстояния Na—O в среднем на 3.2 % больше Ca—O. В целом это приводит к увеличению по сравнению с CaMoO<sub>4</sub> параметров и объема элементарной ячейки NaGd(MoO<sub>4</sub>)<sub>2</sub>.

Практически востребованные свойства кристаллов в значительной мере определяются процессами дефектообразования. Влияние собственных дефектов может быть как положительным (например, зарядовая компенсация при образовании гетеровалентных твердых растворов), так и нежелательным (например, при образовании центров окраски). Настоящая работа посвящена исследованию собственных дефектов в кристаллах натрий-гадолиниевого молибдата.

## МЕТОДИКА МОДЕЛИРОВАНИЯ

Моделирование проведено методом межатомных потенциалов с помощью программы GULP 4.0.1 (General Utility Lattice Program) [ 21 ], которая построена на процедуре минимизации энергии кристаллической структуры.

Атомистический подход основан на использовании эмпирически определенных межатомных потенциалов, которые описывают взаимодействие между ионами в кристалле. Парный потенциал  $U_{ij}$  взаимодействия ионов  $i$  и  $j$  с зарядами  $q_i$  и  $q_j$  – алгебраическая сумма нескольких составляющих:

$$U_{ij}(R_{ij}) = \frac{q_i q_j e^2}{R_{ij}} + A_{ij} \exp\left(\frac{-R_{ij}}{\rho_{ij}}\right) - \frac{C_{ij}}{R_{ij}^6}.$$

Первый член учитывает кулоновское взаимодействие, второй – отталкивание, возникающее при перекрывании электронных оболочек соседних атомов, а последний – ван-дер-ваальсово взаимодействие ( $R_{ij}$  – межатомное расстояние;  $A_{ij}$ ,  $\rho_{ij}$ ,  $C_{ij}$  – эмпирические параметры короткодействующих потенциалов, область действия которых в настоящей работе составляла 15 Å для связи кислород–кислород и 10 Å в остальных случаях). Для ионов принимались формальные заряды. Ковалентный характер связи учитывался введением поляризуемости ионов с помощью «оболочечной модели», в которой остов (С) и оболочка (S) связаны гармонической упругой константой  $\chi_i$

$$U_i^s = \frac{1}{2} \chi_i l_i^2,$$

а  $l_i$  – расстояние между центрами остова и смещенной оболочки.

В табл. 1 приведены значения параметров межатомных потенциалов для настоящей работы. В случае взаимодействия молибдена и кислорода мы использовали значения, полученные

Таблица 1

*Используемые в работе значения параметров межатомных потенциалов и зарядов атомов в кристалле натрий-гадолиниевого молибдата*

Взаимодействие	Параметры потенциалов				Атом	Заряд, е
	$A$ , эВ	$\rho$ , Å	$C$ , эВ·Å <sup>6</sup>	$\chi$ , эВ/Å <sup>-2</sup>		
Na—Os	1271.504	0.3000	0.0		Na	1.00
Gds—Os	866.339	0.3770	0.0		Gd <sub>C</sub>	-0.973
Mo <sub>S</sub> —Os	1073.797588	0.368729	0.000000		Gd <sub>S</sub>	3.973
Os—Os	1868.561623	0.120368	10.909249		Mo <sub>C</sub>	0.268423
Mo <sub>S</sub> —Mo <sub>C</sub>				74.480726	Mo <sub>S</sub>	5.731577
Gd <sub>S</sub> —Gd <sub>C</sub>				299.96	O <sub>C</sub>	0.306187
Os—O <sub>C</sub>				13.804354	O <sub>S</sub>	-2.306187

нами ранее [22], для натрия и гадолиния – данные из [23], трансферабельность этих потенциалов при моделировании молибдатов показана в [24].

За стартовую модель принята структура шеелита с параметрами решетки и координатами атомов, соответствующими  $\text{CaMoO}_4$  по данным [25]. Расчет проводился в сверхъячейке  $2 \times 2 \times 1$  в изотропном приближении со снятием нетрансляционной симметрии (пространственная группа  $P1$ ) при температуре 300 К и нулевом давлении. Распределение ионов натрия и гадолиния по позициям сверхъячейки выполнено с помощью программы Binar [26]. В качестве критерия степени неупорядоченности конфигурации в программе Binar используется величина суммы квадратов отклонений числа разнородных связей во второй координационной сфере в случайной конфигурации от статистической теоретической гистограммы (критерий согласия Пирсона).

Энергия дефекта зависит от его взаимодействия с окружающей матрицей и оценивалась по методу Мотта–Литтлтона [27], в основе которого лежит модель «вложенных сфер». В наших расчетах у центральной области радиус 10 Å, у следующей за ней сферы – 22.2 Å. Оптимизация энергии дефекта проводилась при изменении положения атомов и дипольных моментов вокруг точечного дефекта. В тех случаях, когда проходит успешная оптимизация структурной энергии бездефектного кристалла и энергии дефекта, можно говорить об устойчивости системы.

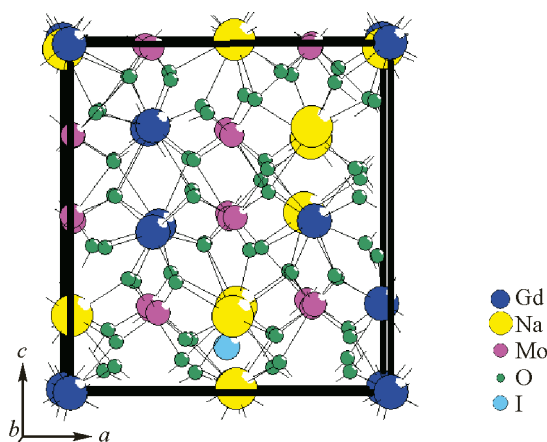
## РЕЗУЛЬТАТЫ И ИХ ОБСУЖДЕНИЕ

На рисунке показана сгенерированная сверхъячейка, в которой получено нулевое значение критерия согласия Пирсона: значит, распределение ионов по А-позициям близко к статистическому.

Использованный набор параметров потенциалов межионного взаимодействия позволяет достаточно адекватно описать известные данные натрий–гадолиниевого молибдата (табл. 2).

Различие расчетных и экспериментальных данных для параметров, объема элементарной ячейки и плотности кристаллов не превышает десятых долей процента и меньше различий между экспериментальными данными из разных источников.

Для натрий–гадолиниевого молибдата рассчитаны энергии различных собственных дефектов, включая вакансии гадолиния ( $v''_{\text{Gd}}$ ), натрия ( $v'_{\text{Na}}$ ), молибдена ( $v''''_{\text{Mo}}$ ), и кислорода ( $v''''_{\text{O}}$ ), атомы внедрения гадолиния ( $\text{Gd}^{***}_{\text{I}}$ ), натрия ( $\text{Na}^{\bullet}_{\text{I}}$ ), молибдена ( $\text{Mo}^{*****}_{\text{I}}$ ) и кислорода ( $\text{O}''_{\text{I}}$ ), а также энергии образования дефектов Френкеля и Шоттки. Для дефектов используются обозначения Крегера и Винка [31]: нижний индекс обозначает позицию в кристалле, верхний –



Сверхъячейка натрий–гадолиниевого молибдата с разупорядоченным распределением ионов натрия и гадолиния по А-позициям. I – наиболее энергетически выгодное положение интерстициональных катионов

Таблица 2

*Сравнение расчетных и экспериментальных данных для натрий-гадолиниевого молибдата*

Свойства	Расчет	Эксперимент		
		PDF 25-0828 [ 28 ]	[ 29 ]	[ 30 ]
Параметры элементарной ячейки ( $a, c$ ) Å	5.2422	5.244	5.227	5.221–5.2334
	11.4261	11.487	11.429	11.412–11.4328
Объем элементарной ячейки ( $V$ ) Å <sup>3</sup>	313.99	315.89	312.26 <sup>#1</sup>	311.06–313.13
Плотность ( $\rho$ ) г/см <sup>3</sup>	5.29	5.258	5.32 <sup>#1</sup>	5.303–5.339

#1 Значения рассчитаны нами из экспериментальных данных о параметрах элементарной ячейки.

заряд, избыточный положительный (•), избыточный отрицательный (') по отношению к заряду ненарушенной матрицы (×), v – вакансия, I – интерстиция. Результаты расчетов представлены в табл. 3. Там же для сравнения приведены данные из [ 22 ] о собственных дефектах в структурном аналоге NGM, повеллиите (CaMoO<sub>4</sub>).

Характерная черта кристаллов NGM – позиционная зависимость энергии вакансий для ионов одного и того же сорта, которая связана с разупорядоченным распределением ионов натрия и гадолиния по А-позициям, в силу чего при изменении структурной локализации дефекта может меняться состав атомов ближайшего окружения. Так, в случае гадолиния, который обычно замещается редкоземельными примесями активаторов, для ионов, занимающих разное положение в сверхъячейке, энергии вакансии варьируются от 42.70 эВ до 45.14 эВ. Вариация

Таблица 3

*Энергия дефектов в NaGd(MoO<sub>4</sub>)<sub>2</sub> в сравнении с дефектами повеллиита*

Дефекты	E/дефект, эВ	
	NaGd(MoO <sub>4</sub> ) <sub>2</sub>	CaMoO <sub>4</sub>
v'' <sub>Ca</sub>	–	23.96
v''' <sub>Gd</sub>	42.70	–
v' <sub>Na</sub>	8.24	–
v'''''' <sub>Mo</sub>	201.25	206.34
v <sup>••</sup> <sub>O</sub>	20.93	22.15
Ca <sub>I</sub> <sup>••</sup>	–	-12.62
Gd <sub>I</sub> <sup>•••</sup>	-39.09	–
Na <sub>I</sub> <sup>•</sup>	-5.43	–
Mo <sub>I</sub> <sup>•••••</sup>	-172.12	–
O <sub>I</sub> <sup>''</sup>	-14.70	-12.20
v'' <sub>Ca</sub> , Ca <sub>I</sub> <sup>••</sup> кальциевый дефект Френкеля	–	5.67
v''' <sub>Gd</sub> , Gd <sub>I</sub> <sup>•••</sup> гадолиниевый дефект Френкеля	1.80	–
v' <sub>Na</sub> , Na <sub>I</sub> <sup>•</sup> натриевый дефект Френкеля	1.40	–
v'''''' <sub>Mo</sub> , Mo <sub>I</sub> <sup>•••••</sup> молибденовый дефект Френкеля	14.56	–
v <sup>••</sup> <sub>O</sub> , O <sub>I</sub> <sup>•</sup> кислородный дефект Френкеля	3.11	4.98
v'' <sub>Ca</sub> , v'''''' <sub>Mo</sub> , 4v <sup>••</sup> <sub>O</sub> дефект Шоттки	–	6.52
v' <sub>Na</sub> , v''' <sub>Gd</sub> , 2v'''''' <sub>Mo</sub> , 8v <sup>••</sup> <sub>O</sub> дефект Шоттки	4.62	–

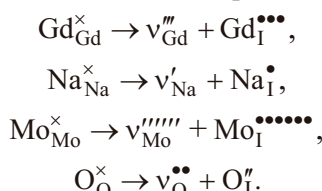
энергии вакансий для других ионов при разной структурной локализации, как и для гадолиния, не превышает нескольких процентов, что пренебрежимо мало в сопоставлении с разницей между энергиями вакансий разных ионов. В табл. 3 приведены минимальные значения, полученные для вакансий. Видно, что самые низкие значения энергии среди других в NGM имеют вакансии натрия, их величины существенно меньше, чем для вакансий кальция в повеллите. Вместе с тем, энергии гадолиниевых вакансий значительно больше кальциевых. В случае молибдена в NGM, как и в повеллите, энергии вакансий велики, поскольку их появление ведет к образованию кластеров, состоящих из четырех ионов кислорода без центрального катиона, что существенно нарушает локальный баланс заряда. Трудность образования вакансий молибдена связана с устойчивостью молибденовых тетраэдров. Вместе с тем и молибденовые, и кислородные вакансии в NGM имеют более низкие значения энергии, чем в повеллите.

На величину энергии интерстициальных ионов может оказывать влияние не только различие ближайшего окружения, но и размеры междуузлия. Позиции для дефектов внедрения выбраны в соответствии со структурой кристалла. Минимальные энергии интерстициальных катионов оказались в позиции, показанной на рисунке шариком с символом I. В табл. 2 приведены величины энергии интерстициальных ионов гадолиния, натрия, молибдена, локализованных в этой позиции. Для кислорода минимальная энергия интерстиции оказалась в позиции с координатами 0,5, 0,5, 0,625.

В других межузельных позициях внедрение ионов энергетически менее выгодно или создаются условия, неблагоприятные для оптимизации энергии дефекта. Позиционные различия в энергии интерстициальных ионов, так же, как и для вакансий, значительно меньше различий энергии разных интерстициальных ионов. Отметим, что, в отличие от повеллита, в кристаллах NGM молибден может встраиваться в междуузлие.

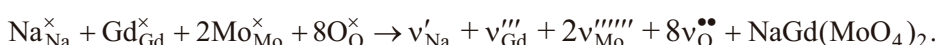
Для сопряженных дефектов, включающих несколько точечных, энергии образования приведены в табл. 3 в виде средних значений, приходящихся на один точечный дефект. При этом дефекты рассматриваются как изолированные, не взаимодействующие между собой, статистически распределенные в кристалле по наиболее выгодным для них позициям.

Образование дефектов Френкеля для ионов гадолиния, натрия, молибдена и кислорода может быть выражено следующими квазихимическими реакциями:



Энергия образования дефекта Френкеля ( $E_F$ ) представляет собой сумму энергий вакансии и интерстиции и в расчете в среднем на один точечный дефект может быть выражена в общем виде для катионов ( $K$ )  $E_F(K) = [E(v_K) + E(K_I)]/2$ , для кислорода  $E_F(O) = [E(v_O^{\bullet\bullet}) + E(O_I'')] / 2$ . Полученные оценки энергии образования катионных и кислородных дефектов Френкеля приведены в табл. 3. Следует отметить, что формирование натриевых дефектов Френкеля требует наименьших энергетических затрат, а молибденовых дефектов Френкеля – высоких энергий, поэтому вероятность образования таковых мала.

Процесс формирования дефекта Шоттки в NGM может быть представлен следующим образом:



Энергия образования данного дефекта, приходящаяся в среднем на один точечный дефект, складывается из следующих составляющих:

$$E_{\text{Sch}} = \{E(v_{\text{Na}}') + E(v_{\text{Gd}}''') + 2E(v_{\text{Mo}}''') + 8E(v_{\text{O}}^{\bullet\bullet}) + E_L[\text{NaGd}(\text{MoO}_4)_2]\} / 12,$$

где  $E_L[\text{NaGd}(\text{MoO}_4)_2]$  – энергия решетки  $\text{NaGd}(\text{MoO}_4)_2$ . Расчетное значение  $E_L[\text{NaGd}(\text{MoO}_4)_2]$  составило (-565.41) эВ. Величина энергии формирования дефекта Шоттки представлена в табл. 3. Сопоставление значений энергий образования различных собственных дефектов вы-

явило, что натриевые, гадолиниевые и кислородные дефекты Френкеля в NGM более энергетически выгодны, чем дефект Шоттки и молибденовый дефект Френкеля, в состав которых входят вакансии молибдена. Однако дефекты Шоттки в NGM образуются легче, чем в повеллите. Натриевые дефекты Френкеля – наиболее вероятные дефекты в натрий-гадолиниевом молибдате. Энергия образования дефектов в NGM существенно меньше, чем в повеллите. Таким образом, замещение кальция на натрий и гадолиний повышает вероятность появления собственных дефектов кристалла.

## ЗАКЛЮЧЕНИЕ

В натрий-гадолиниевом молибдате рассчитаны энергии вакансий и интерстиций натрия, гадолиния, молибдена и кислорода. Показано, что разупорядочение ионов натрия и гадолиния по А-позициям вызывает позиционные различия в энергии дефектов в пределах нескольких процентов. Установлено, что наиболее энергетически выгодны в NGM натриевые дефекты Френкеля. Образование молибденовых дефектов Френкеля маловероятно. Собственные дефекты в  $\text{NaGd}(\text{MoO}_4)_2$  образуются легче, чем в  $\text{CaMoO}_4$ .

## СПИСОК ЛИТЕРАТУРЫ

1. A.A. Maier, M. V Provotorov, V.A. Balashov. Double molybdates and tungstates of the rare earth and alkali metals. *Russ. Chem. Rev.*, **1973**, 42(10), 822–833. <https://doi.org/10.1070/rc1973v042n10abeh002758>
2. V.K. Trunov, V.A. Efremov, Yu.A. Velikorodnyi. Kristallokhimiya i svoistva dvoinykh molibdatov i vol'famatov (Crystal Chemistry and Properties of Double Molybdates and Tungstates). Leningrad, Russia: Nauka, **1986**. (In Russ.)
3. G.M. Kuz'micheva, V.B. Rybakov, V.L. Panyutin, E.V. Zharikov, K.A. Subbotin. Symmetry of  $(\text{Na}_{0.5}\text{R}_{0.5})\text{MO}_4$  crystals ( $\text{R} = \text{Gd}, \text{La}; \text{M} = \text{W}, \text{Mo}$ ). *Russ. J. Inorg. Chem.*, **2010**, 55(9), 1448–1453. <https://doi.org/10.1134/s0036023610090196>
4. A. Li, J. Li, Z. Chen, Y. Wu, L. Wu, G. Liu, C. Wang, G. Zhang. Growth and spectral properties of  $\text{Yb}^{3+}/\text{Ho}^{3+}$  co-doped  $\text{NaGd}(\text{MoO}_4)_2$  crystal. *Mater. Express*, **2015**, 5(6), 527–533. <https://doi.org/10.1166/mex.2015.1269>
5. M. Schmidt, S. Heck, D. Bosbach, S. Ganschow, C. Walther, T. Stumpf. Characterization of powellite-based solid solutions by site-selective time resolved laser fluorescence spectroscopy. *Dalton Trans.*, **2013**, 42(23), 8387–8393. <https://doi.org/10.1039/c3dt50146a>
6. J. Huang, J. Huang, Y. Lin, X. Gong, Y. Chen, Z. Luo, Y. Huang. Spectroscopic properties of  $\text{Sm}^{3+}$ -doped  $\text{NaGd}(\text{MoO}_4)_2$  crystal for visible laser application. *J. Lumin.*, **2017**, 187, 235–239. <https://doi.org/10.1016/j.jlumin.2016.11.078>
7. W. Guo, Y. Chen, Y. Lin, X. Gong, Z. Luo, Y. Huang. Spectroscopic analysis and laser performance of  $\text{Tm}^{3+}:\text{NaGd}(\text{MoO}_4)_2$  crystal. *J. Phys. D: Appl. Phys.*, **2008**, 41(11), 115409. <https://doi.org/10.1088/0022-3727/41/11/115409>
8. L. Wu, Z. Chen, Y. Wu, G. Liu, A. Li, Y. Hao, S. Zhu, L. Zhen. Growth process and optical investigations of Nd:NaGd ( $\text{MoO}_4$ )<sub>2</sub> crystals with varying content of Nd and Gd. *Cryst. Res. Technol.*, **2016**, 51(2), 137–144. <https://doi.org/10.1002/crat.201500228>
9. Z. Wang, X. Li, G. Wang, M. Song, Q. Wei, G. Wang, X. Long. Growth and optical properties of  $\text{Ho}^{3+}:\text{NaGd}(\text{MoO}_4)_2$  crystal. *Opt. Mater.*, **2008**, 30(12), 1873–1877. <https://doi.org/10.1016/j.optmat.2007.12.012>
10. T. Hasegawa, S.W. Kim, Y. Abe, M. Muto, M. Watanabe, T. Kaneko, K. Uematsu, T. Ishigaki, K. Toda, M. Sato, J. Koide, M. Toda, Y. Kudo. Determination of the crystal structure and photoluminescence properties of  $\text{NaEu}_{1-x}\text{Gd}_x(\text{MoO}_4)_2$  phosphor synthesized by a water-assisted low-temperature synthesis technique. *RSC Adv.*, **2017**, 7(40), 25089–25094. <https://doi.org/10.1039/c7ra01832k>
11. J. Liao, D. Zhou, H. You, H. Wen, Q. Zhou, B. Yang. Hydrothermal synthesis and photoluminescence of  $\text{NaGd}(\text{MoO}_4)_2:\text{Tb}^{3+}$  novel green phosphor. *Optik*, **2013**, 124(12), 1362–1365. <https://doi.org/10.1016/j.jleo.2012.03.046>
12. F. Mo, L. Zhou, Q. Pang, F. Gong, Z. Liang. Potential red-emitting  $\text{NaGd}(\text{MO}_4)_2:\text{R}$  ( $\text{M} = \text{W}, \text{Mo}, \text{R} = \text{Eu}^{3+}, \text{Sm}^{3+}, \text{Bi}^{3+}$ ) phosphors for white light emitting diodes applications. *Ceram. Int.*, **2012**, 38(8), 6289–6294. <https://doi.org/10.1016/j.ceramint.2012.04.084>
13. L. Li, D. Dong, J. Zhang, C. Zhang, G. Jia. Well-defined  $\text{NaGd}(\text{MoO}_4)_2:\text{Ln}^{3+}$  ( $\text{Ln} = \text{Eu}, \text{Tb}, \text{Dy}, \text{and Sm}$ ) luminescent materials: Facile synthesis and luminescence properties. *Mater. Lett.*, **2014**, 131, 298–301. <https://doi.org/10.1016/j.matlet.2014.05.205>

14. W. Bi, Q. Meng, W. Sun, S. Lu. Optical temperature sensing properties of  $\text{Er}^{3+}$ ,  $\text{Yb}^{3+}$  co-doped  $\text{NaGd}(\text{MoO}_4)_2$  phosphor. *Ceram. Int.*, **2017**, 43(1), 1460–1465. <https://doi.org/10.1016/j.ceramint.2016.10.114>
15. L. Zhang, Q. Meng, W. Sun, S. Lü. Temperature-sensing characteristics of  $\text{NaGd}(\text{MoO}_4)_2$ :  $\text{Sm}^{3+}$ ,  $\text{Tb}^{3+}$  phosphors. *Ceram. Int.*, **2021**, 47(1), 670–676. <https://doi.org/10.1016/j.ceramint.2020.08.175>
16. V.B. Dudnikova, E.V. Zharikov. Atomistic simulation of sodium–gadolinium molybdate of stoichiometric  $(\text{Na}_{1/2}\text{Gd}_{1/2}\text{MoO}_4)$  and cation-deficient  $(\text{Na}_{2/7}\text{Gd}_{4/7}\text{MoO}_4)$  compositions. *Phys. Solid State*, **2017**, 59(5), 866–877. <https://doi.org/10.1134/s1063783417050110>
17. V.B. Dudnikova, E.V. Zharikov. Simulation of simple and complex gadolinium molybdates by the interatomic potential method. *Crystallogr. Rep.*, **2018**, 63(2), 166–171. <https://doi.org/10.1134/s1063774518020050>
18. V.B. Dudnikova, D.I. Antonov, E.V. Zharikov, N.N. Eremin.  $\text{CaMoO}_4$ - $\text{NaGd}(\text{MoO}_4)_2$  solid solutions: simulation of properties and local structure by the method of interatomic potentials. *Phys. Solid State*, **2022**, 64(11), 1713–1722. <https://doi.org/10.21883/pss.2022.11.54195.413>
19. V.B. Dudnikova, E.V. Zharikov, N.N. Eremin. Simulation of the  $\text{NaGd}(\text{MoO}_4)_2$ - $\text{NaEu}(\text{MoO}_4)_2$  and  $\text{Na}_2\text{Gd}_4(\text{MoO}_4)_7$ - $\text{Na}_2\text{Eu}_4(\text{MoO}_4)_7$  solid solutions by the interatomic potential method. *Phys. Solid State*, **2019**, 61(4), 555–564. <https://doi.org/10.1134/s1063783419040085>
20. V.B. Dudnikova, E.V. Zharikov, N.N. Eremin. Local structure of molybdates solid solutions containing europium by results of atomistic simulation. *Mater. Today Commun.*, **2020**, 23, 101180. <https://doi.org/10.1016/j.mtcomm.2020.101180>
21. J.D. Gale. GULP: Capabilities and prospects. *Z. Kristallogr. – Cryst. Mater.*, **2005**, 220(5–6), 552–554. <https://doi.org/10.1524/zkri.220.5.552.65070>
22. V.D. Dudnikova, D.I. Antonov, E.V. Zharikov, N.N. Eremin. Energy of formation of intrinsic defects and their clusters in the powellite  $\text{CaMoO}_4$ . *Phys. Solid State*, **2022**, 64(10), 1425–1431. <https://doi.org/10.21883/pss.2022.10.54231.354>
23. T.S. Bush, J.D. Gale, C.R.A. Catlow, P.D. Battle. Self-consistent interatomic potentials for the simulation of binary and ternary oxides. *J. Mater. Chem.*, **1994**, 4(6), 831–837. <https://doi.org/10.1039/jm9940400831>
24. V.B. Dudnikova, N.N. Eremin. Dissolution Energies of Impurities and Their Clusters in Powellite  $\text{CaMoO}_4$ . *Crystallogr. Rep.*, **2023**, 68(1), 7–13. <https://doi.org/10.1134/s1063774523010066>
25. V.B. Aleksandrov, L.V. Gorbatyi, V.V. Ilyukhin. Crystal structure of powellite  $\text{CaMoO}_4$ . *Sov. Phys. – Crystallogr.*, **1968**, 13, 414–415.
26. V.S. Urusov, N.N. Eremin. Atomisticheskoe komp'yuternoe modelirovaniye struktury i svoistv neorganicheskikh kristallov i mineralov, ikh defektov i tverdykh rastvorov (Atomistic Computer Simulation of the Structure and Properties of Inorganic Crystals and Minerals, Their Defects and Solid Solutions). Moscow, Russia: GEOS, **2012**. (In Russ.)
27. N.F. Mott, M.J. Littleton. Conduction in polar crystals. I. Electrolytic conduction in solid salts. *Trans. Faraday Soc.*, **1938**, 34, 485–499. <https://doi.org/10.1039/tf9383400485>
28. Powder Diffraction File, Card 25-0828. Newtown Square, PA, USA: JCPDS-ICDD, **1999**.
29. M. Schieber, L. Holmes. Crystal growth and magnetic susceptibilities of some rare-earth sodium molybdenum scheelites. *J. Appl. Phys.*, **1964**, 35(3), 1004–1005. <https://doi.org/10.1063/1.1713352>
30. G.M. Kuz'micheva, I.A. Kaurova, V.B. Rybakov, P.A. Eistrikh-Geller, E.V. Zharikov, D.A. Lis, K.A. Subbotin. Influence of initial charge composition and growth/annealing atmospheres on the structural parameters of Czochralski-grown  $(\text{Na}_x\text{Gd}_{1-x})\text{MoO}_4$  crystals. *CrystEngComm*, **2016**, 18(16), 2921–2928. <https://doi.org/10.1039/c5ce02570b>
31. F.A. Kröger, H.J. Vink. Relations between the Concentrations of imperfections in crystalline solids. *Solid State Phys.*, **1956**, 3, 307–435. [https://doi.org/10.1016/s0081-1947\(08\)60135-6](https://doi.org/10.1016/s0081-1947(08)60135-6)